

ナノテク・部材イノベーションプログラム／エネルギーイノベーションプログラム  
／ITイノベーションプログラム

## 「次世代高度部材開発評価基盤の開発プロジェクト」プロジェクト

### プロジェクトの詳細説明資料

## III. 研究開発成果について(公開)

### III. 2 研究開発項目毎の成果

#### III. 2. 1 Low-k材料のダメージ耐性評価方法の開発

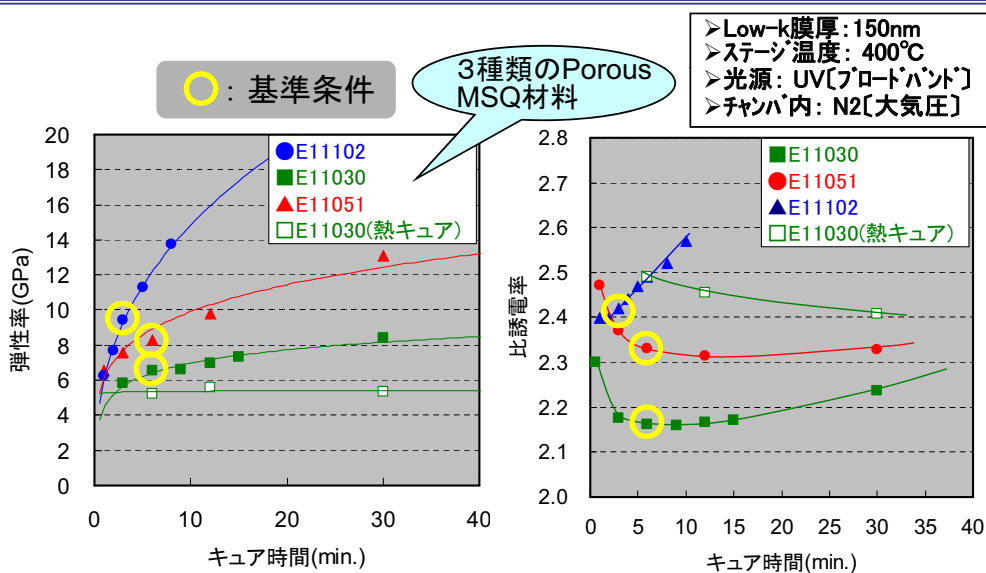
#### III. 2. 2 統合部材開発支援ツール(TEG)の開発

#### III. 2. 3 パッケージ工程までの一貫した材料評価方法の確立

### III. 2. 1 Low-k材料のダメージ耐性評価方法の開発

1. UVキュアの影響評価
2. 多層配線による評価
3. Low-k膜ダメージの評価方法
  3. 1 SiO-CVD
  3. 2 CMP
4. 有機Low-kを用いた多層配線プロセスの提案
5. まとめ

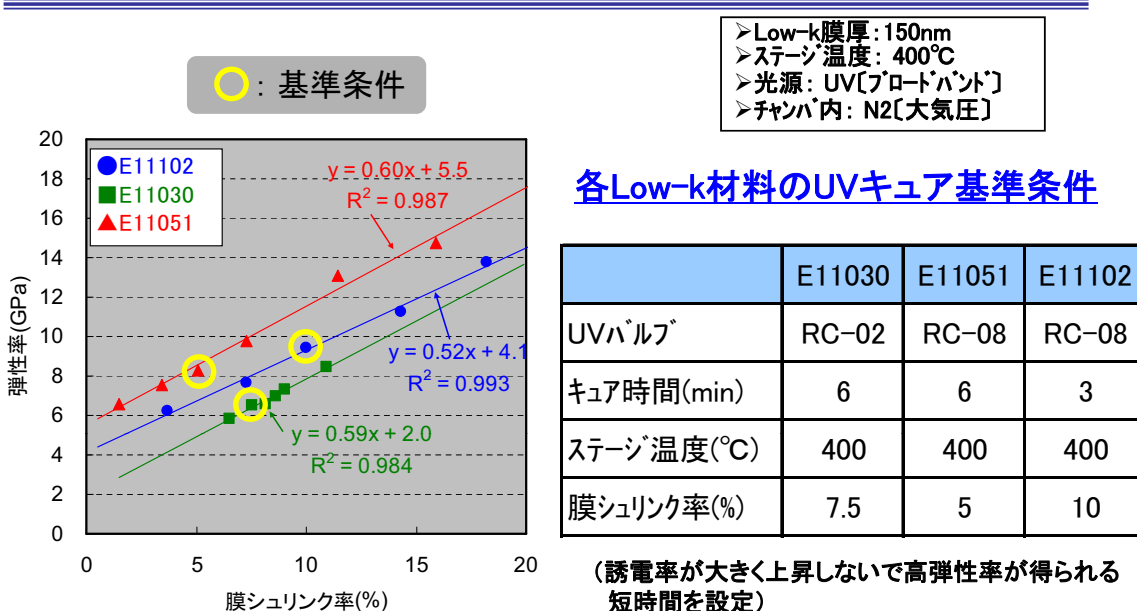
## 1. UVキュアの影響評価(Low-k材料のキュア時間依存性)



- ・熱キュアに対し、UVキュアで高弾性率化と低比誘電率化が可能(E11030の比較)
- ・Low-k材料に依存して、UVキュア効果の時間依存性が異なる
- ・基準条件は、誘電率が大きく上昇しないで高弾性率が得られる短時間を設定

【関連特許: 特願2007-091733、特願2008-059536】

## 1. UVキュアの影響評価(シュリンク率と弾性率の関係)



弾性率は、膜シュリンク率とほぼ直線関係

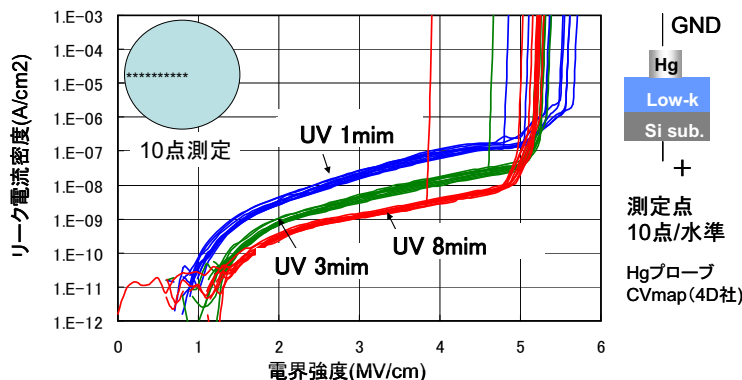
## 1. UVキュアの影響評価(キュア時間による膜物性の変化)

### キュア時間(3水準)と膜物性

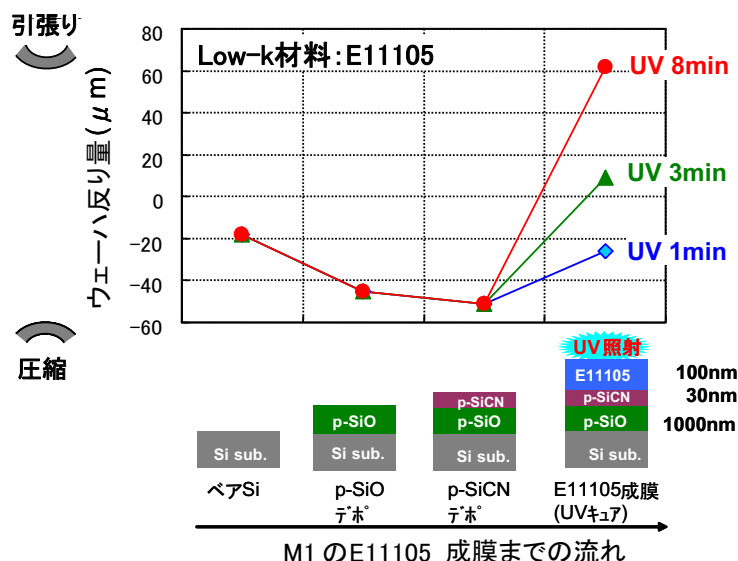
※E11105は、E11102の100nm 膜厚仕様

評価Low-k材料		unit	評価方法	E11105 (ポーラスMSQ)		
UVキュア時間(ステージ温度:400°C)				1min	3min	8min
膜シルク率	%	エリプソメトリー		4	10	20
電気特性	k値		水銀プローブ*	2.40	2.42	2.57
	リーク電流(3MV/cm)	e-9A/cm2	水銀プローブ*	21.0	4.1	1.2
機械特性	弾性率	GPa	ナノインテンション	6.2	9.4	13.8

### E11105 単層膜 IV特性

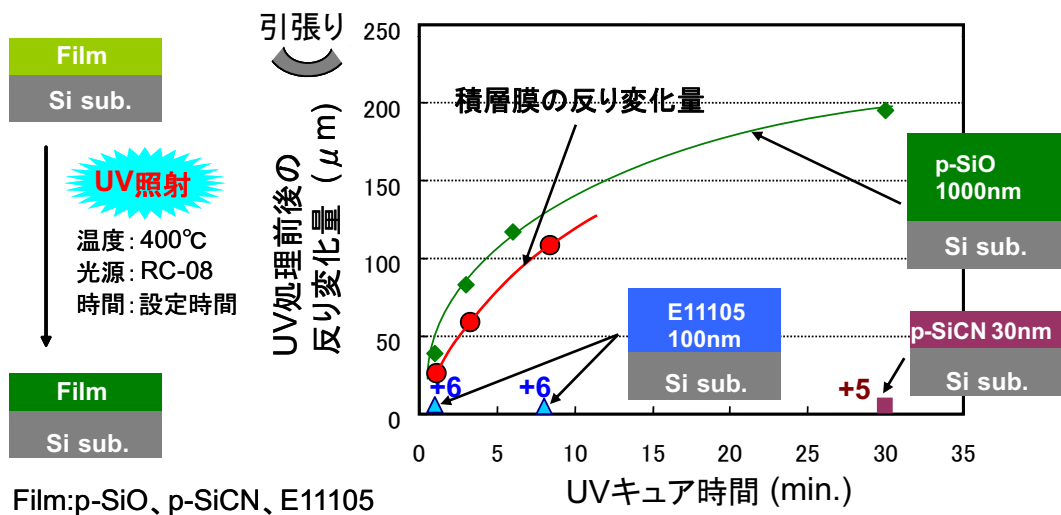


## 1. UVキュアの影響評価(試作の進行に伴うウェーハ反り)



積層膜でのウェーハそり量(300mmウェーハ)

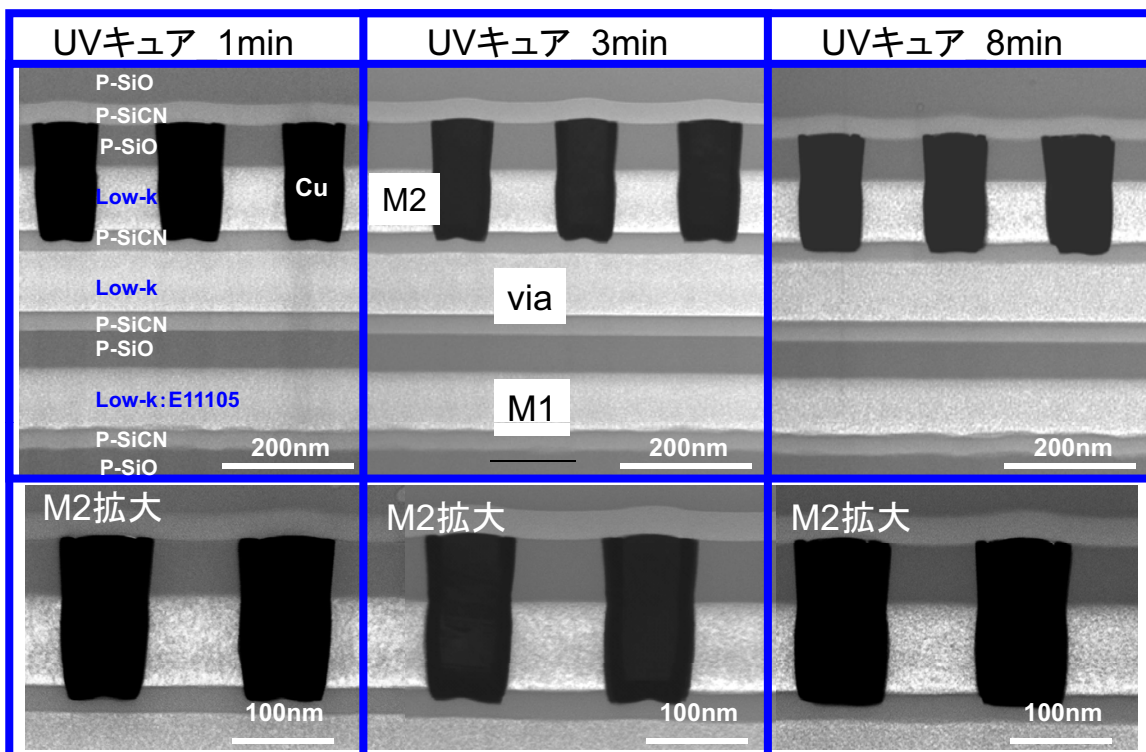
## 1. UVキュアの影響評価(各種絶縁膜のウェーハそり)



UVキュア時間とウェーハ反り量の関係

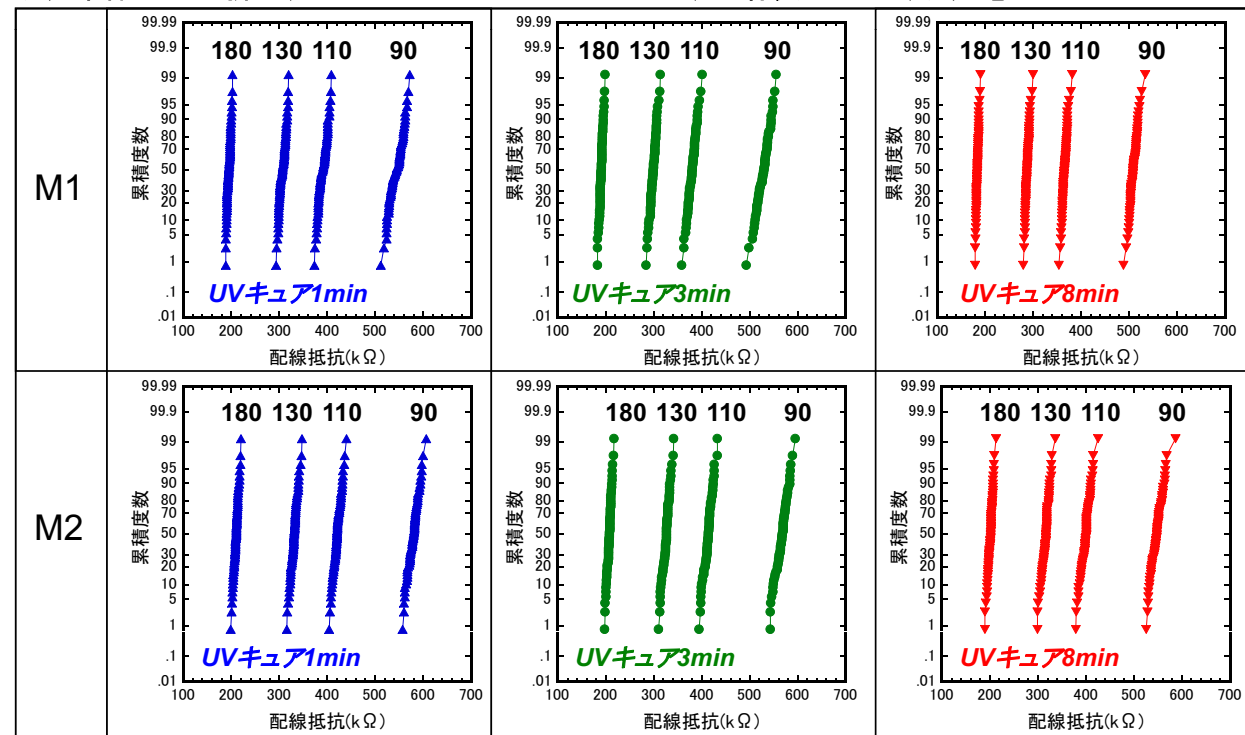
- ・積層膜のウェーハの反りは、p-SiOの反りに支配される
- ・UV光は相当部分(半分以上)Low-k膜を透過している

## 2. 多層配線による評価(断面観察)



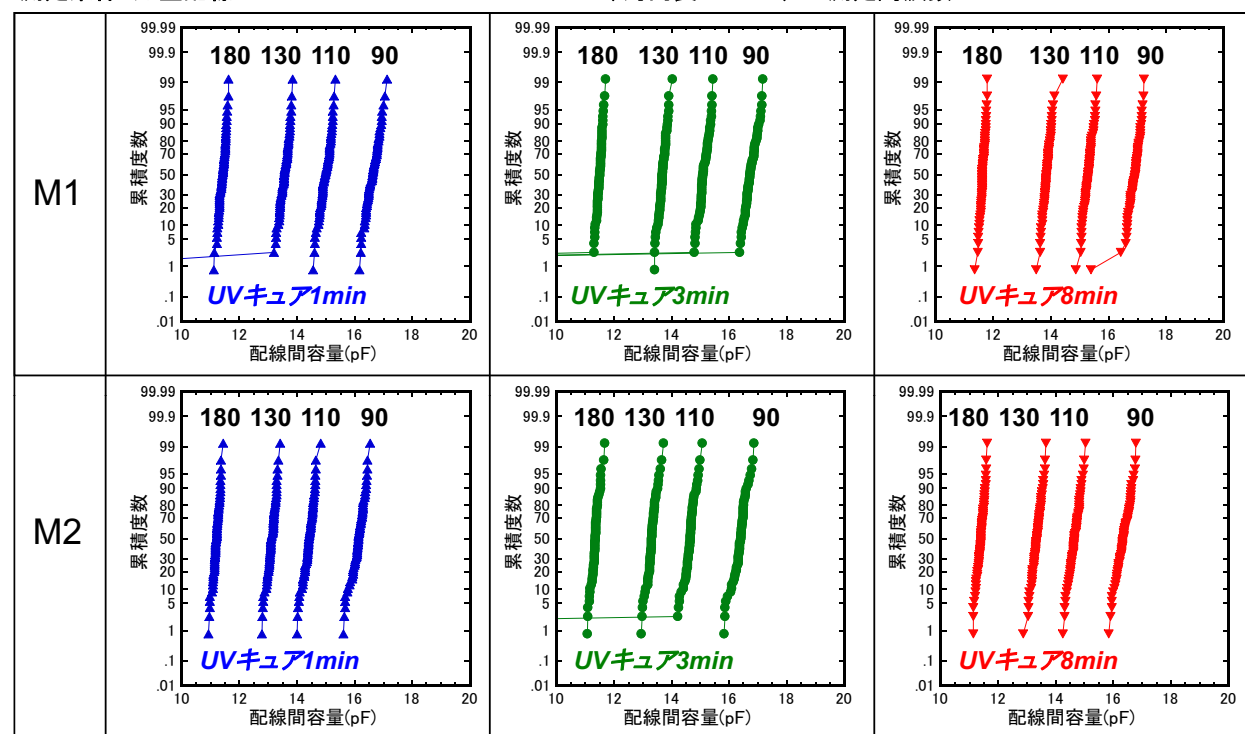
## 2. 多層配線による評価(配線抵抗測定)

測定条件:つづら折れ、L/S=90nm/90nm~180/180nm、配線長:200mm、測定電圧:100mV

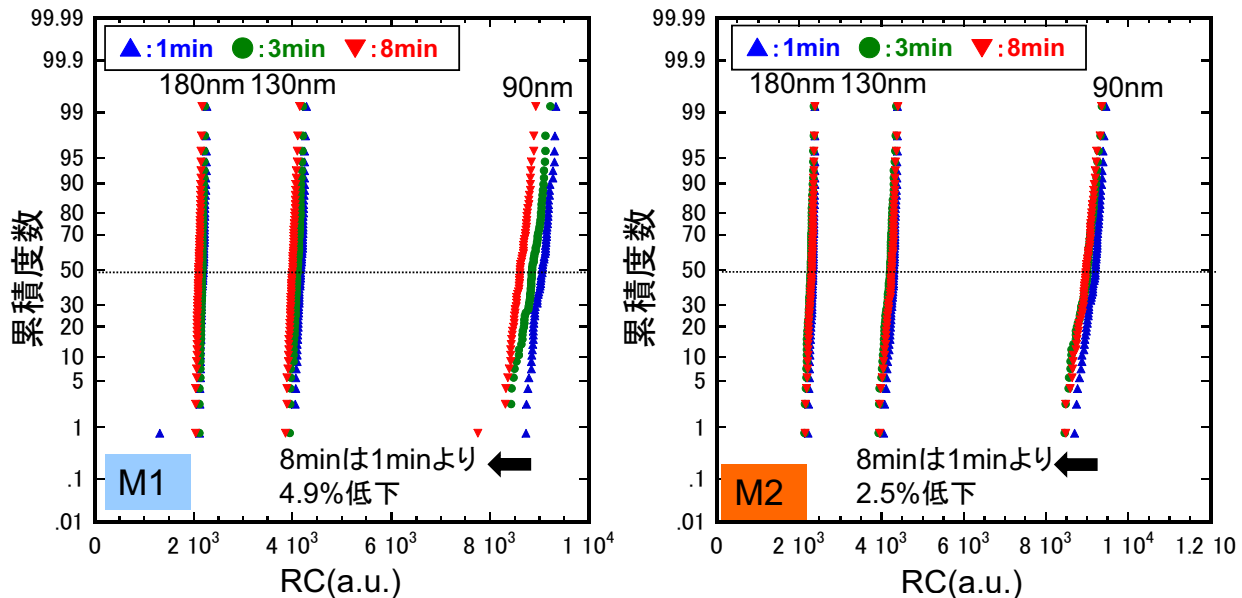


## 2. 多層配線による評価(配線間容量測定)

測定条件:くし型配線 L/S=90nm/90nm~180nm/180nm、対向長:200mm、測定周波数:100KHz

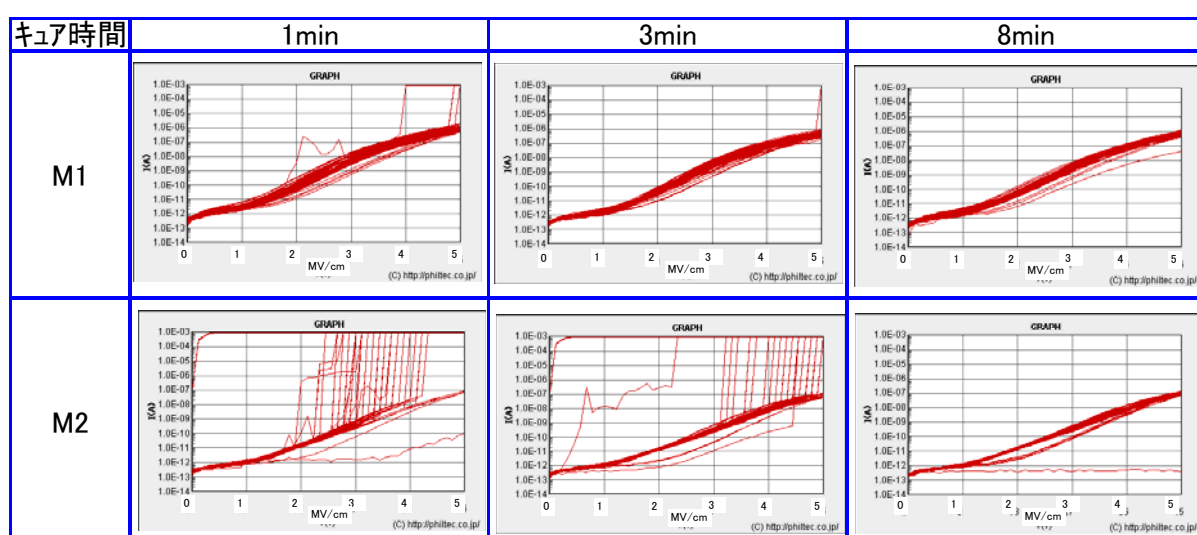


## 2. 多層配線による評価(抵抗・容量積)



## 2. 多層配線による評価(配線間リーケ電流測定)

2層配線 I-V特性(90nm L/S、くし型配線:対向長100mm)

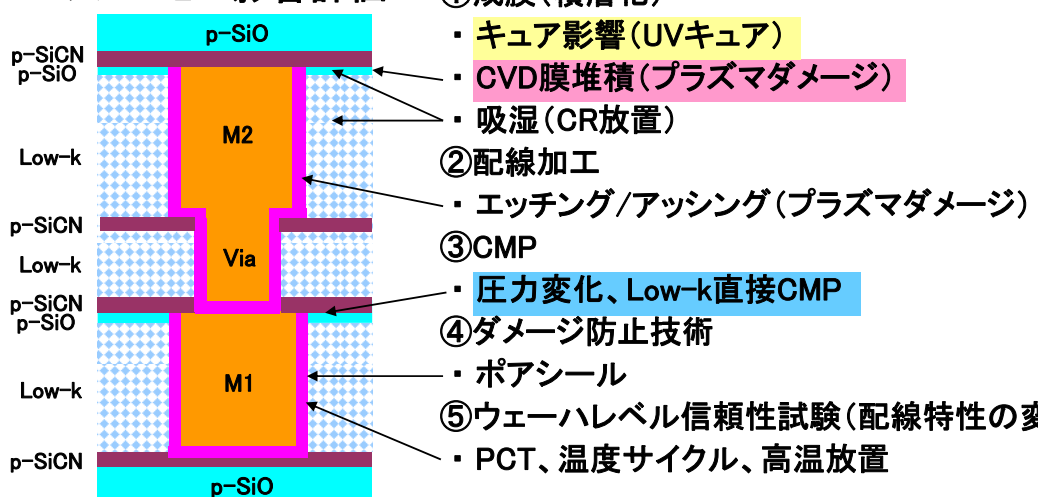


Low-k材料:E11105

※横軸:電界強度(MV/cm), 縦軸:リーケ電流(A)

### 3. Low-k膜ダメージ評価方法

#### ◆プロセス影響評価



#### ◆Low-k膜物性評価



##### ①単層膜

- ・k値/リーク電流/弾性率/シュリンク率(UVキュア)、膜組成、空孔(SAXS)

##### ②積層膜

- ・密着性、積層膜厚/密度(XRR)、膜応力

### 3.1 SiO-CVD(積層膜厚測定の高精度化)

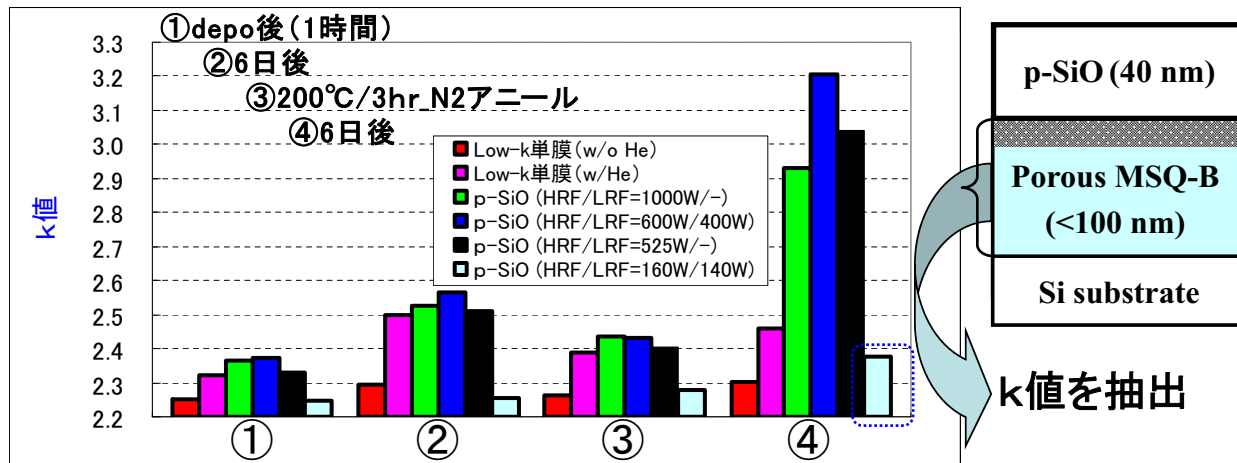
XRR 測定		膜厚 (nm)		分光エリプソ測定	
p-SiO Cap 設計膜厚 40nm	40.9			p-SiO Cap +Low-k変質層	分離困難
	1.61	50.1		Low -k層 設計膜厚 100nm	
Low-k層 設計膜厚 100nm	3.07			Si 基板	
	7.53				
	74.5	80.3			
合計膜厚		127.6	130.4	Si 基板	

➢ XRR測定(X線反射率測定法)の場合、膜密度の違いからCap膜とLow-k変質層を分離でき、積層膜の各膜厚を正確に測定できるので、容量測定から比誘電率を正確に抽出できる。

【関連特許:特願2008-044320、特願2008-068823】

【関連外部発表No.:16、17】

### 3.1 SiO-CVD(比誘電率測定によるダメージ評価)



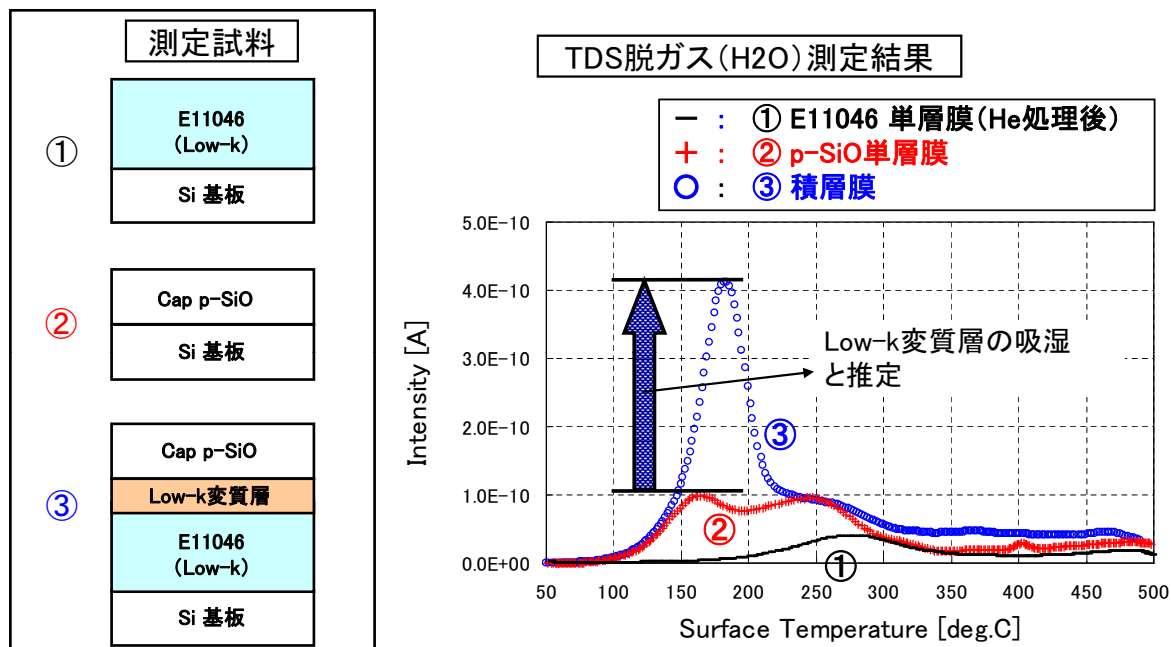
- SiO-CVDによるk値上昇量は10%以下
- 大気中(CR内)放置によるk値上昇量が大きく、50%近くに達する
- k値上昇量が最も少ないSiO-CVDは、低パワーの2周波法である

【関連特許：特願2008-331592】

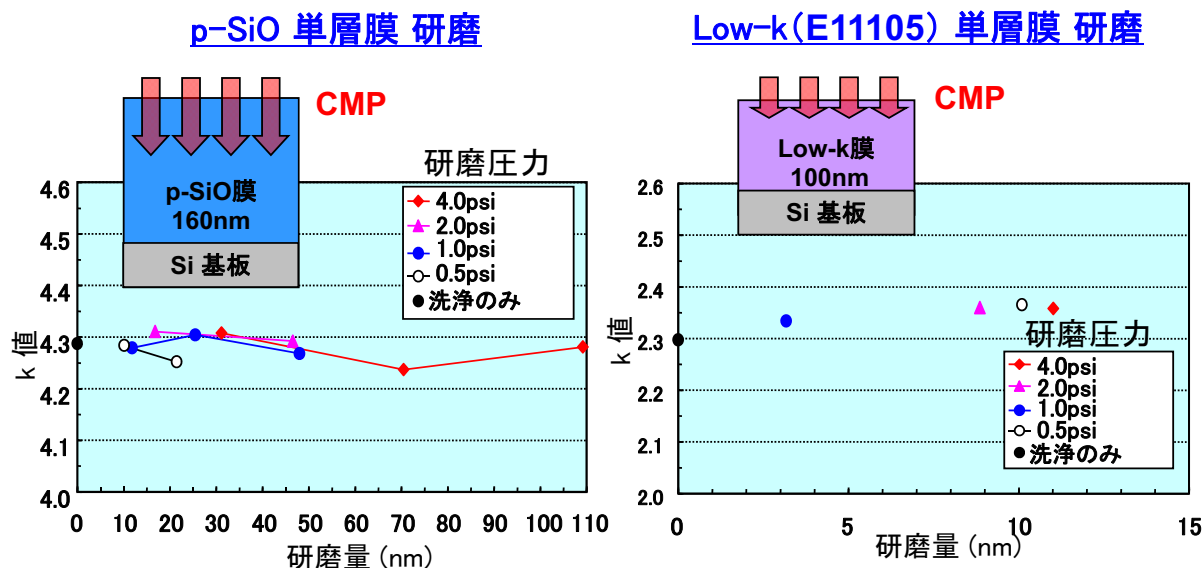
【関連外部発表No.:20】

### 3.1 SiO-CVD(k値上昇要因)

#### 単層膜/積層膜の脱ガス(H<sub>2</sub>O)測定(CR 6日間放置後[24°C/45% RH])



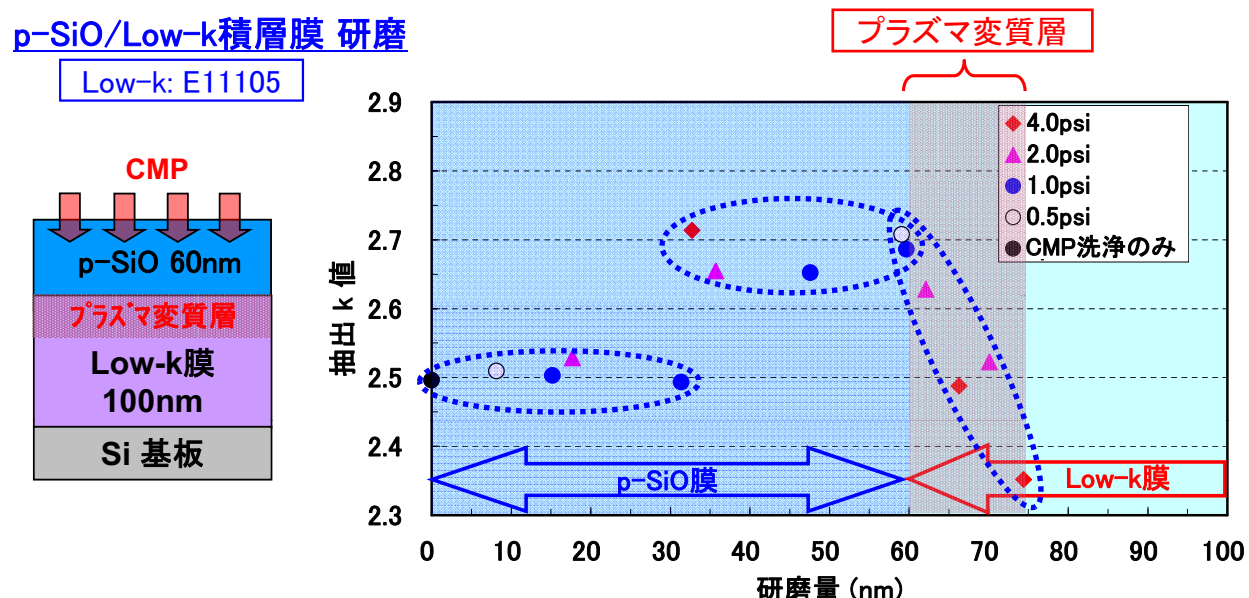
### 3.2 CMP(単層膜研磨によるダメージ)



・研磨圧力によるダメージ(k値上昇は)の違いはほとんど認められない

【関連特許：特願2007-086268、特願2009-069313】

### 3.2 CMP(積層膜では研磨量に伴いk値が変化)



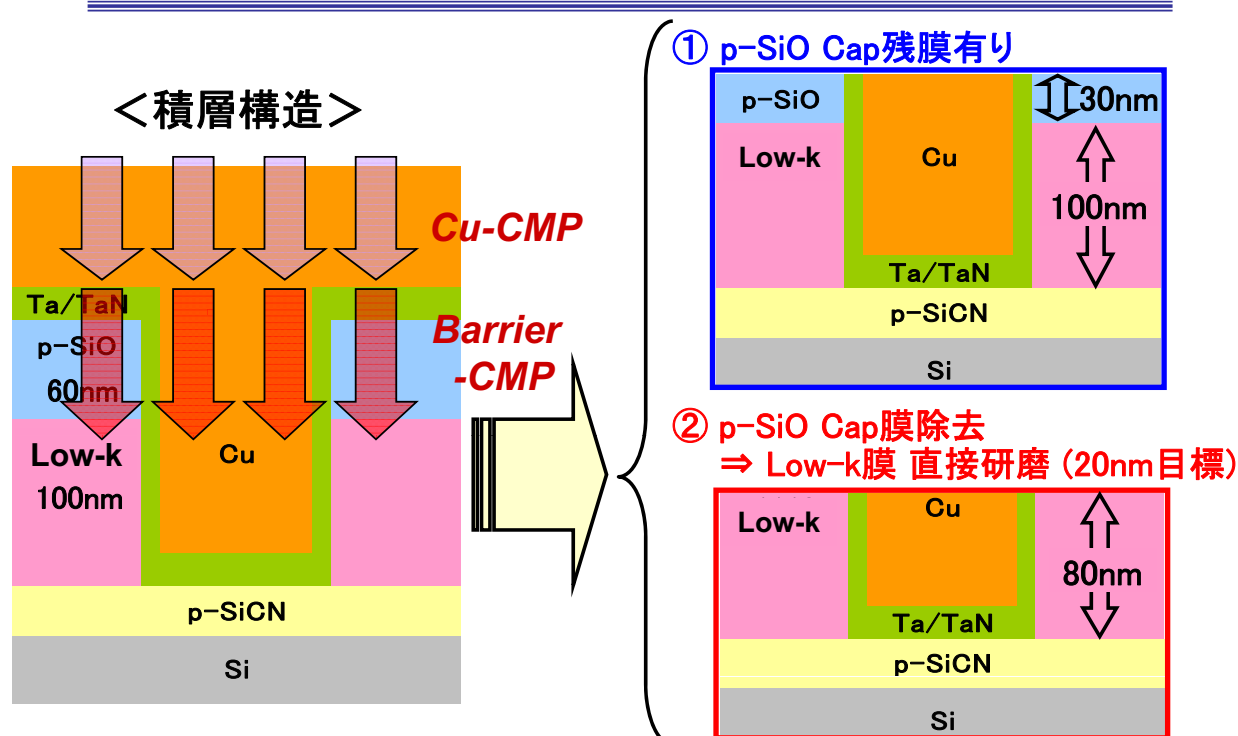
・研磨圧力によるk値変化よりもプラズマ変質層除去によるk値変化が顕著である  
・k値上昇は、プラズマ変質層の吸湿によると考えられる

### 3.2 CMP(各種のLow-k材料を用いたダメージ評価)

#### 評価Low-k材料の成膜条件と膜物性

Low-k	E11097	E11105	E11145	E11146	p-SiOC
UVキュア条件					
温度(°C)		400			-
時間(min)	6	3	4	4	-
膜物性@150nm					
Shrinkage(%)	5	10	9.2	12	-
誘電率	2.33	2.37	2.05	2.07	3.01
弾性率(GPa)	8.3	7.0	4.0	5.9	8.6
硬度(GPa)	0.91	0.81	0.43	0.60	0.96
材料選定の着目点	Porous MSQ k値; 2.3 – 2.4 弾性率; 7 – 9 GPa	Porous MSQ k値; 2.0 – 2.1 弾性率; 4 – 6 GPa	CVD系 リファレンス		

### 3.2 CMP(ダメージ評価プロセス)

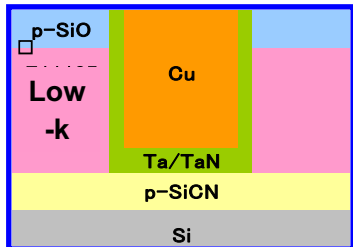


### 3.2 CMP(配線間リーケ電流測定)

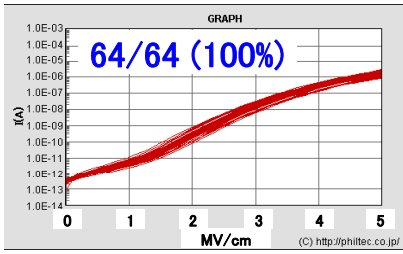
#### ① p-SiO Cap残膜有り

※ I-V特性と歩留り% @5MV/cm  
L/S=90nm/90nm くし型配線(対向長:100mm)

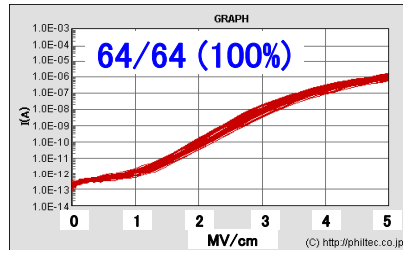
CMP 2psi



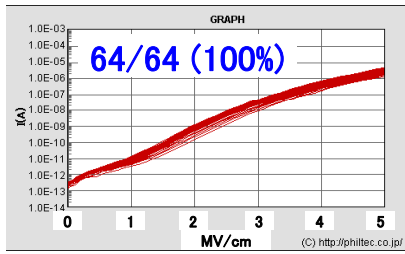
E11097



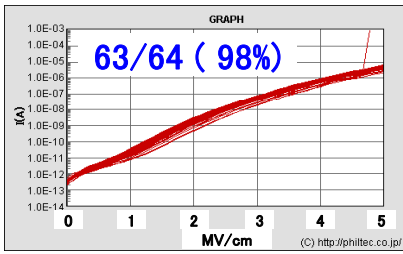
E11105



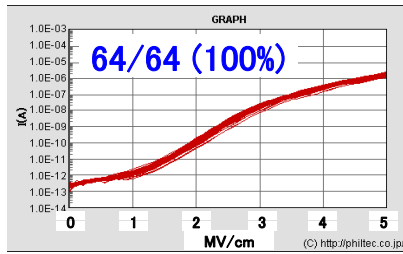
E11145



E11146



p-SiOC



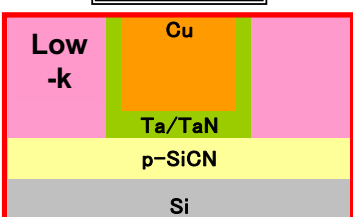
・I-V特性に若干の差はあるが、歩留りではLow-k材料の差はない

### 3.2 CMP(配線間リーケ電流測定)

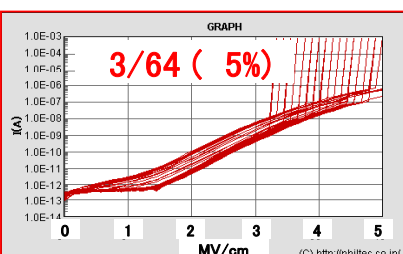
#### ② p-SiO Cap膜除去 ⇒ Low-k膜 直接研磨

※ I-V特性と歩留り% @5MV/cm  
L/S=90nm/90nm くし型配線(対向長:100mm)

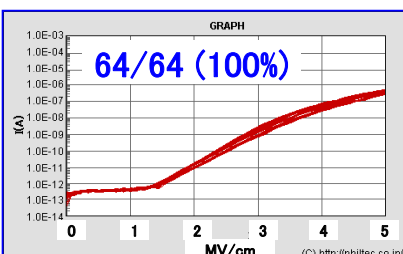
CMP 2psi



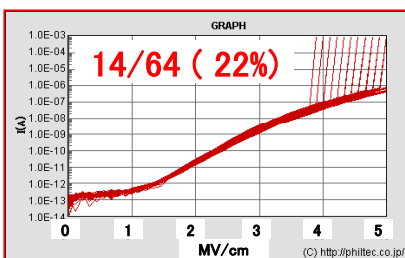
E11097



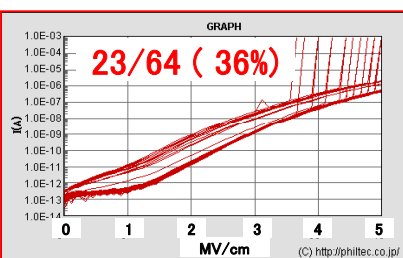
E11105



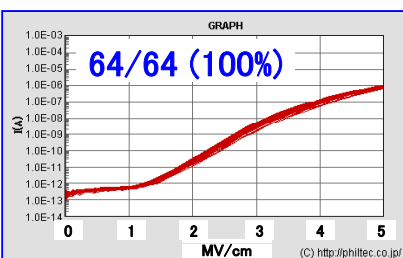
E11145



E11146



p-SiOC

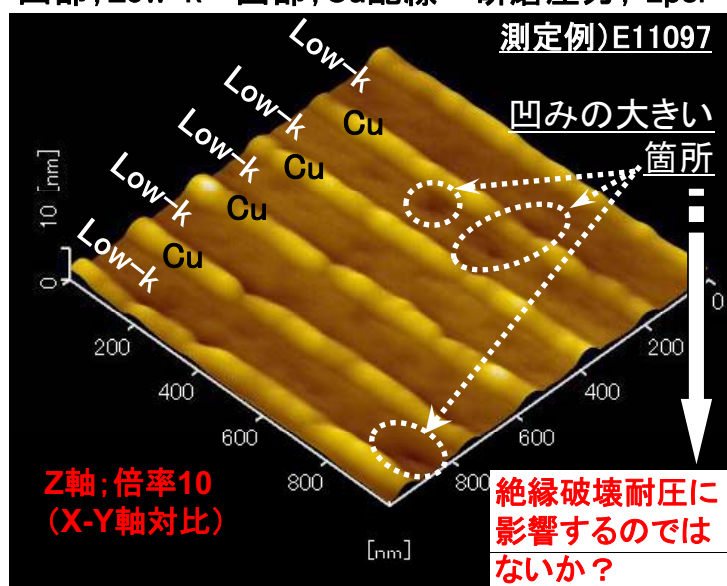


・p-SiOC、E11105以外のLow-k材料で歩留り低下が認められる

### 3.2 CMP(CMP後の表面粗さのAFM評価)

#### CMP後 表面粗さ解析

凹部; Low-k 凸部; Cu配線 研磨圧力; 2psi



Low-k部分のみを測定して、表面粗さを解析し、Ra, Rzそれぞれ5ライン分の平均値を計算。

Ra : 平均面粗さ  
Rz : 10点平均面粗さ  
P-V: 最大高低差

Low-k	Ra (nm)	Rz (nm)	P-V (nm)
E11097	0.08	0.45	1.31
E11105	0.06	0.31	0.66
E11145	0.08	0.37	0.85
E11146	0.08	0.42	0.96
p-SiOC	0.04	0.23	0.54

### 3.2 CMP(絶縁耐圧歩留りと表面粗さ)

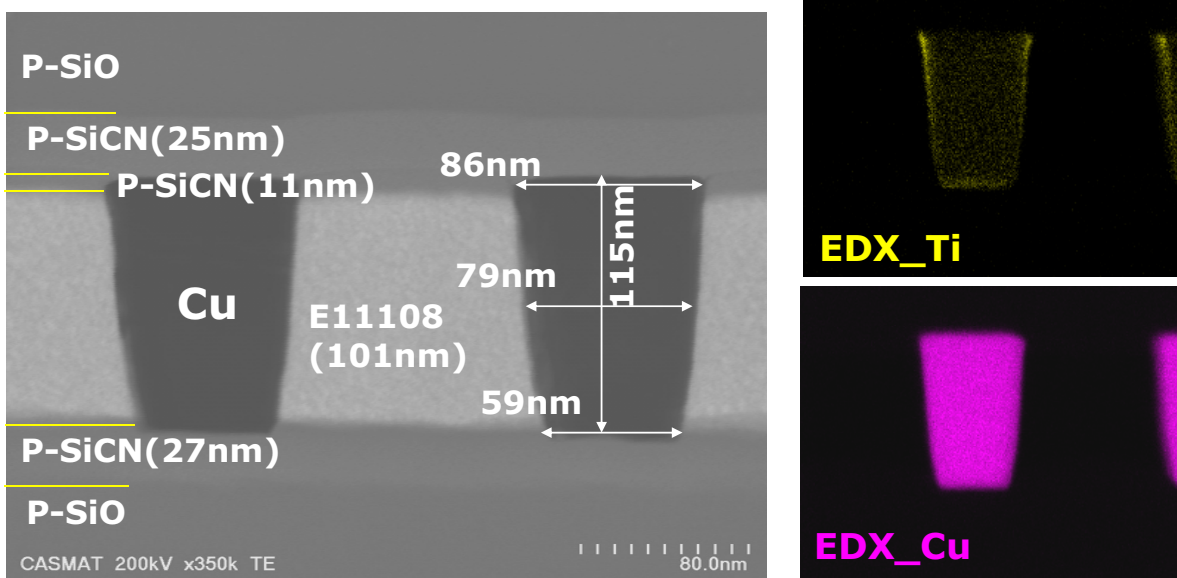
#### 配線試作評価 結果まとめ

項目	Low-k	E11097	E11105	E11145	E11146	p-SiOC
膜物性	比誘電率	2.33	2.37	2.05	2.07	3.01
	弾性率(GPa)	8.3	7.0	4.0	5.9	8.6
Low-k 直接研磨 *2psiデータ	表面粗さ(nm) P-V	0.45 1.31	0.31 0.66	0.37 0.85	0.42 0.96	0.23 0.54
	絶縁耐圧歩留り(%)	5	100	22	36	100
CMP圧力の影響	1psiと2psiとで明確な差は見られなかった。					

- CMP後のLow-k膜の表面粗さ(Rz, P-V)が大きいほど、歩留りが低い傾向にある

#### 4. 有機Low-kを用いた多層配線プロセスの提案(断面形状)

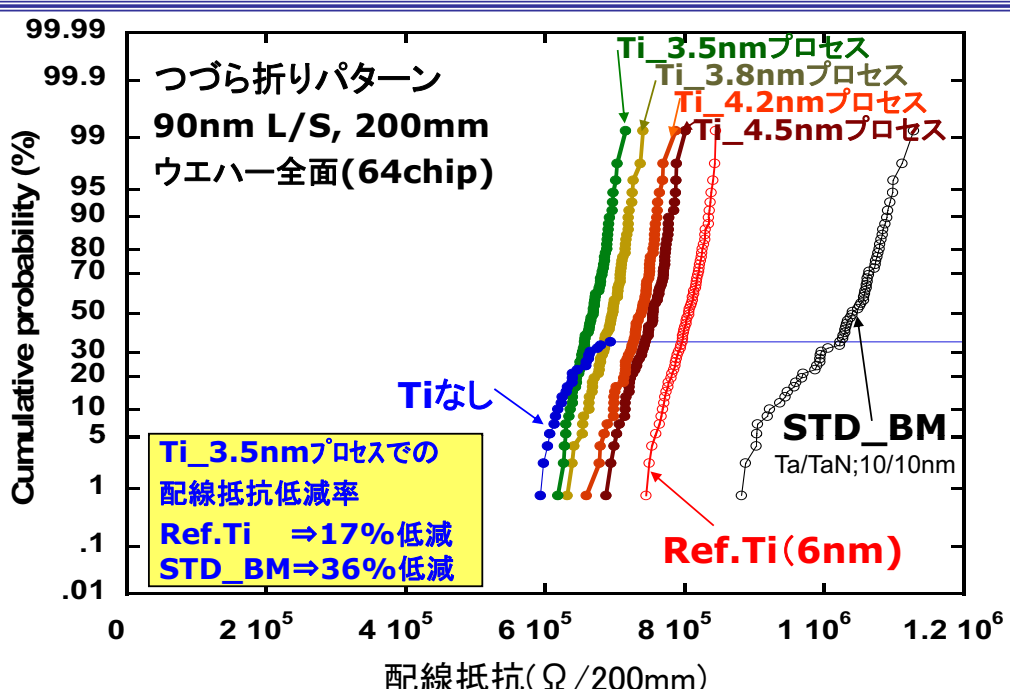
##### Ti\_3.5nmプロセス(側壁Ti;1nm)での1層配線断面



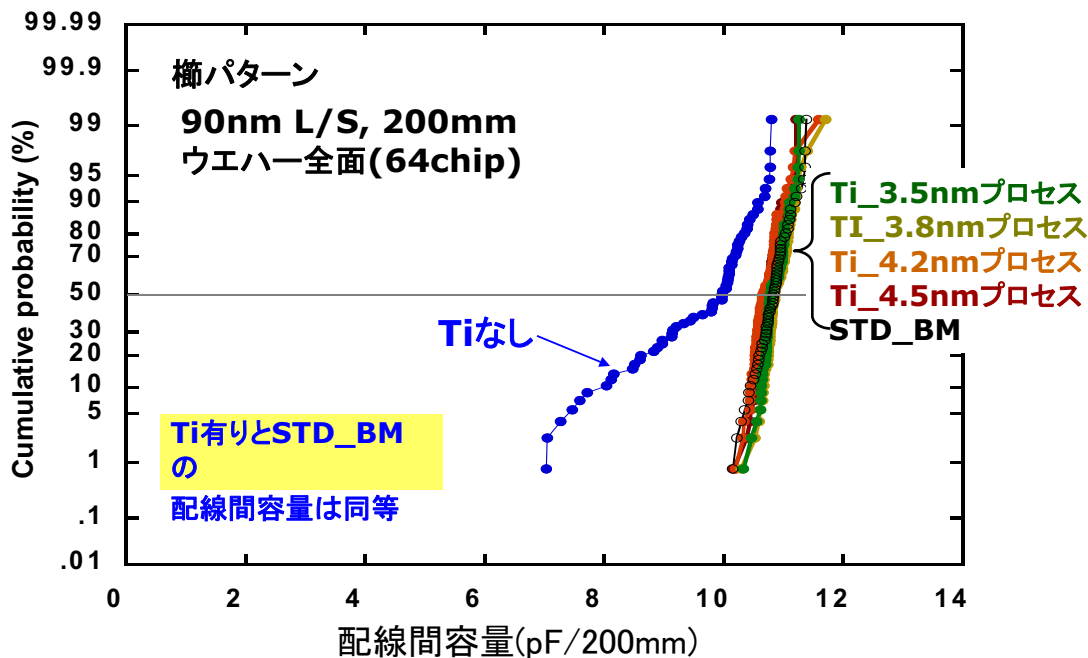
【関連特許:特願2006-018631、特願2007-176665】

【関連外部発表No.:2、3、4、5、6、7、9、10、11、12、14、15、24】

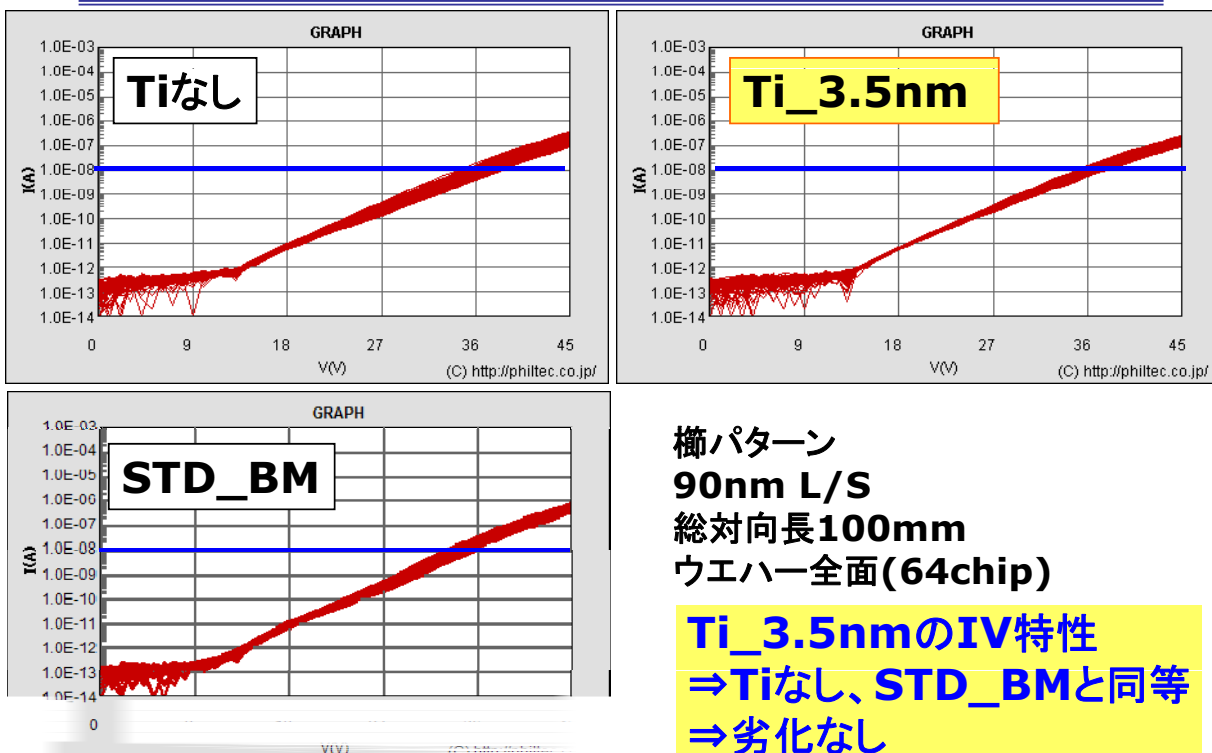
#### 4. 有機Low-kを用いた多層配線プロセスの提案(配線抵抗)



#### 4. 有機Low-kを用いた多層配線プロセスの提案(配線間容量)

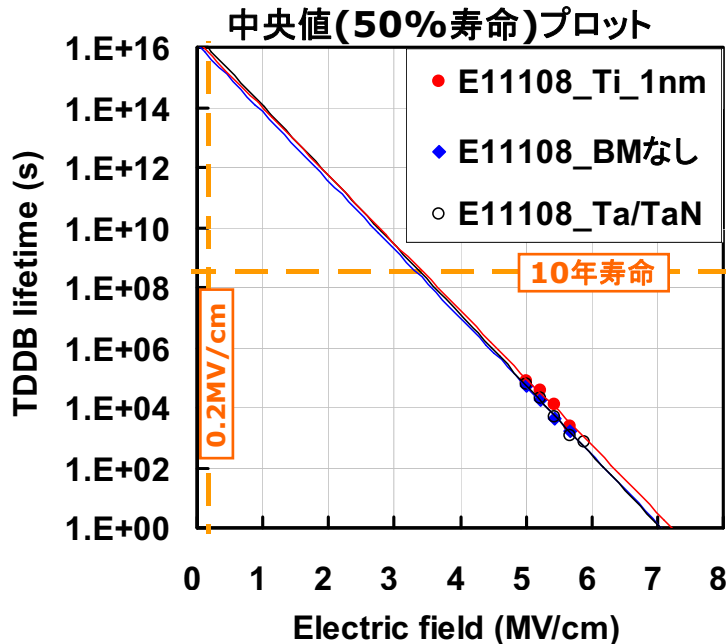


#### 4. 有機Low-kを用いた多層配線プロセスの提案(リーク電流)



#### 4. 有機Low-kを用いた多層配線プロセスの提案(TDDB)

櫛パターン、90nm L/S、総対向長10mm



#### 5. まとめ

- MSQ系Low-k提案材料に対して、低誘電率化と高弾性率化を両立する短時間キュアが可能なUVキュア条件を設定し、配線評価を可能とした
- Low-k材料のダメージ耐性に関して、プラズマCVD膜堆積、加工用プラズマ照射、低圧化を含むCMPの影響をそれぞれ評価し、劣化要因を推定した
- Low-k材料を用いた1層配線TEG、2層配線TEGのウェーハレベル信頼度評価により、提案材料の耐性を評価し、最も影響の大きい要因を判別した
- 有機ポリマーLow-k材料を用いた多層配線技術の課題(密着性)を抽出し、薄膜Ti挿入の対策によるソリューションを提案した